

УДК 538.975+537.534.9

© 1990

**СТЕПЕНЬ СТРУКТУРНОГО
И МАГНИТНОГО РАЗУПОРЯДОЧЕНИЯ
В ФЕРРИТ-ГРАНАТОВЫХ ПЛЕНКАХ,
ИМПЛАНТИРОВАННЫХ ИОНАМИ БОРА**

*B. V. Немошканенко, B. K. Остафийчук, B. A. Олейник,
B. D. Федорив, A. Ю. Гринченко, H. A. Скаакун*

Обсуждаются результаты экспериментальных исследований кристаллической и магнитной структур, стехиометрии и профиля концентрации бора в имплантированных феррит-гранатовых пленках, содержащих ЦМД.

В настоящее время монокристаллические феррит-гранатовые пленки (ФГП), содержащие цилиндрические магнитные домены (ЦМД), широко используются в магнитооптике и вычислительной технике. С целью корректировки параметров ФГП, в частности подавления жестких ЦМД и создания каналов их продвижения, используется ионная имплантация (ИИ). В литературе имеется множество работ, например [1, 2], посвященных исследованию магнитных характеристик ФГП, имплантированных в основном ионами благородных газов. На наш взгляд, представляет научный и практический интерес всестороннее исследование кристаллической и магнитной структур ФГП, имплантированных химически активными элементами.

Цель настоящей работы — исследование влияния дозы внедренных ионов бора на степень структурного и магнитного разупорядочения. Исследование подвергались ФГП номинального состава $(YSmLuCa)_3 \cdot (FeGe)_5O_{12}$, выращенные методом жидкофазной эпитаксии на подложке из гадолиний-галлиевого граната с кристаллографической плоскостью среза [111]. Для увеличения вероятности эффекта Мессбауэра и улучшения качества спектров в исходной шихте использовался окисел Fe_2O_3 , обогащенный до 8 % изотопом ^{57}Fe . Образцы, вырезанные из одной ФГП, имплантировались на установке «Везувий» ионами бора с энергией 80 кэВ и дозами $1 \cdot 10^{14}$ — $1 \cdot 10^{18}$ B^+/cm^2 при комнатной температуре в режиме, исключающем канализование. Исследования структурных и магнитных параметров исходных и имплантированных ФГП были выполнены методами, основанными на взаимодействии высокоэнергетических легких ионов с кристаллической решеткой твердого тела [3], рентгеновского двухкристального спектрометра и конверсионной мессбауэровской спектроскопии [4], электронографии и магнитооптическими методами. Электронограммы получены в геометрии отражения от поверхности исходной и имплантированной ФГП с помощью электронографа ЭМР-102 при диаметре электронного зонда ~ 100 мкм, угле скольжения $\sim 1^\circ$ с ускоряющим напряжением 75 кэВ.

Из таблицы следует, что увеличение дозы внедренных ионов вызывает первоначальное увеличение и дальнейшее уменьшение постоянной решетки, обусловливая аналогичные изменения напряжений сжатия. Наличие максимума напряжений и их спад с дальнейшим ростом дозы имплан-

Некоторые структурные и магнитные параметры исходной ФГП
и имплантированной ионами бора с энергией 80 кэВ

| Номер образца | Доза, В ⁺ /см ² | Н. коллапса ЦМД, Э | $\Delta a/a, \%$ | Эффективные магнитные поля на ядрах ⁵⁷ Fe, кЭ | |
|---------------|---------------------------------------|--------------------|------------------|--|---------|
| | | | | H_a | H_d |
| 1 | Исходный | 102 | 0 | 443 | 376 |
| 2 | $1 \cdot 10^{14}$ | 105 | 0.15 | 442 | 373 |
| 3 | $6 \cdot 10^{14}$ | 175 | 1.41 | 453 | 385 |
| 4 | $8 \cdot 10^{14}$ | 171 | 1.53 | 453 | 388 |
| 5 | $1 \cdot 10^{15}$ | 160 | 1.68 | 440 | 378 |
| 6 | $5 \cdot 10^{15}$ | 134 | 0.53 | 442 | 371 |
| 7 | $1 \cdot 10^{16}$ | 106 | 0.51 | — | — |
| Погрешность | | ± 2 | ± 0.01 | ± 5 | ± 5 |

тируемых ионов объясняются кинетикой образования дефектов в нарушенном слое и зарождением аморфных областей, что подтверждается результатами электронографии и резерфордовского обратного рассеивания (РОР) ионов гелия.

На электронограммах, полученных на отражение от исходной ФГП, наблюдаются контрастные кикучи-линии и правильная сетка точечных дифракционных рефлексов, что свидетельствует о довольно высоком структурном совершенстве неимплантированного приповерхностного слоя. По мере увеличения дозы ИИ интенсивность и контрастность кикучи-линий и дифракционных рефлексов на электронограммах, полученных от имплантированных пленок, уменьшаются, а интенсивность диффузного рассеивания увеличивается. Исходя из классификационной шкалы электронограмм [3], можно заключить, что если при дозе $1 \cdot 10^{14} \text{ см}^{-2}$ в приповерхностном слое происходит только зарождение дефектов с сохранением кристаллической структуры, то при дозе $6 \cdot 10^{14} \text{ см}^{-2}$ наблюдаются значительные искажения структуры имплантированного слоя с нарушением параллельности кристаллографических плоскостей и образованием, очевидно, тонкого аморфного поверхностного слоя. При достижении дозы $\geq 1 \cdot 10^{15} \text{ см}^{-2}$ на электронограмме содержится только диффузное полукольцо в виде гало, что свидетельствует об аморфности поверхностного слоя толщиной $\geq 10 \text{ нм}$, в то время как структура более глубокого слоя является искаженной с нарушенной плоскопараллельностью кристаллографических плоскостей.

Результаты электронографии хорошо согласуются с результатами, полученными при исследовании спектров РОР и ядерных резонансных процессов, протекающих при взаимодействии ионов гелия с кристаллом. Из характерных спектров РОР (рис. 1) видно, что увеличение дозы внедренных ионов бора в ФГП вызывает значительные их изменения, обусловленные образованием, накоплением и трансформацией дефектов и перераспределением элементов в нарушенном вследствие ионной имплантации приповерхностном слое. Анализ спектров РОР показал, что при дозе $1 \cdot 10^{14} \text{ см}^{-2}$ в ФГП имеется незначительное количество протяженных дефектов, распределенных в приповерхностном слое, в то время как при дозе $8 \cdot 10^{14} \text{ см}^{-2}$ их концентрация становится существенной при значительном содержании аморфной фазы, которая практически прорастает на всю глубину имплантированного слоя при дозе $\geq 1 \cdot 10^{16} \text{ см}^{-2}$.

На основании анализа угловых ширин лунок ио бору и катионам (рис. 2) можно сделать вывод о том, что при внедрении ионов бора с энергией 80 кэВ в ФГП происходит разрушение как анионной, так и катионной подрешетки. Однако степень их разрушения имеет селективный характер и зависит от дозы ионной имплантации. При относительно низких дозах, по-видимому, в основном разрушается анионная подрешетка вследствие особого положения кислорода в структуре граната, в то время как при дозах $8 \cdot 10^{14} \text{ см}^{-2}$ наблюдается заметное разрушение катионной подре-

шетки. Из рис. 2 видно, что при этой дозе происходит также смещение дна лунки по матрице и по бору на угол порядка 0.15° . Однозначная физическая интерпретация наблюдаемого смещения затруднена, и можно только предположить, что оно обусловлено разворотом ионных цепочек в приповерхностном слое при достижении критических доз внедренных ионов бора. Анализ значений $x_{\text{ши}}$ по элементам указывает, что при имплантации ФГП бором в катионной подрешетке легче разрушаются цепочки из более тяжелых элементов и несколько медленнее из легких элементов, хотя это различие, например, для Y и Fe невелико. Вывод о различной степени

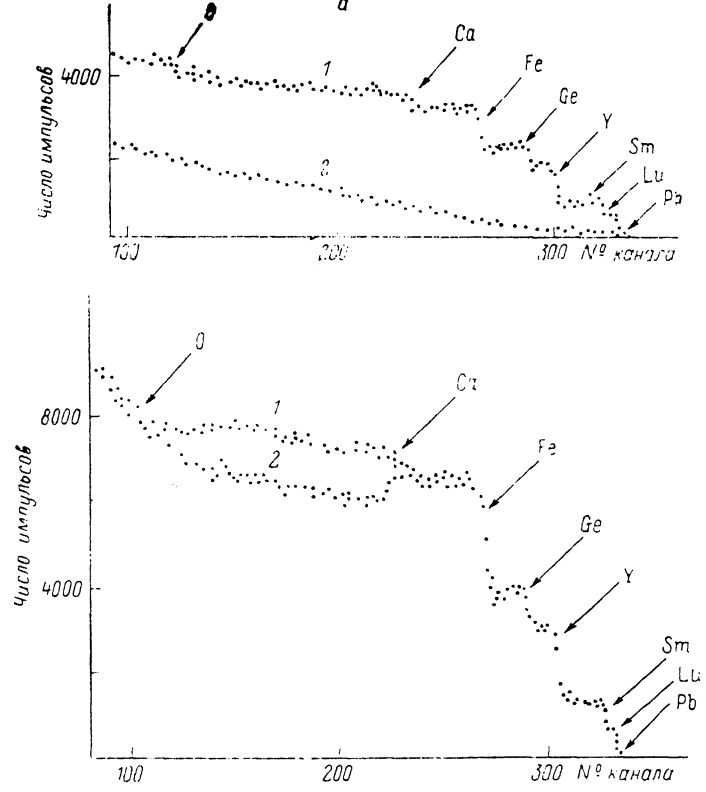


Рис. 1. Экспериментальные спектры РОР иона гелия с $E_{\text{He}}=2$ МэВ от имплантированной ионами бора монокристаллической ФТII в случаях разориентированного состояния (1) и в оси $\langle 111 \rangle$ (2).

$E_{\text{h}}=80$ кэВ, доза $1 \cdot 10^{14} \text{ см}^{-2}$ (а); 80 кэВ, $8 \cdot 10^{14} \text{ см}^{-2}$ (б). Стрелками отмечены каналы, соответствующие рассеянию с поверхности на указанных элементах.

разупорядочения элементов, образующих катионную подрешетку исследованных ФГП, согласуется с результатами работы [6], в которой проведены аналогичные исследования эпитаксиальных пленок, имплантированных ионами неона с энергией 80 кэВ и дозой $3.7 \cdot 10^{14} \text{ см}^{-2}$.

Характерно, что местоположение внедренного бора зависит от дозы имплантации. При дозе $1 \cdot 10^{14} \text{ см}^{-2}$ около 40 % внедренных ионов бора занимают узлы подрешетки, в то время как остальные хаотически распределены по объему решетки, а при дозе $8 \cdot 10^{14} \text{ см}^{-2}$ в узлах находится всего около 25 % бора. По-видимому, внедренные ионы бора предпочитают занимать анионные узлы и данный эффект должен усиливаться при последующем отжиге.

Указанные нарушения структуры имплантированных ФГП находят свое отражение в изменении статических и динамических параметров ЦМД. Из приведенных в таблице значений величины поля коллапса ЦМД видно, что наблюдаются первоначальный рост величины поля коллапса с достижением максимума в области доз $\sim 8 \cdot 10^{14} \text{ см}^{-2}$ и дальнейший

спад с увеличением дозы внедренных ионов бора. Как уже отмечалось нами в работе [4], зависимость изменения величины поля коллапса ЦМД от дозы ИИ объясняется первоначальным ростом планарной составляющей вектора намагниченности вследствие наведения значительных напряжений сжатия и снижения константы одноосной анизотропии приповерхностного имплантированного слоя ФГП и ее дальнейшим уменьшением в результате увеличения концентрации структурных дефектов и аморфной фазы. Отмеченные изменения планарной составляющей вектора намагниченности с дозой ИИ наблюдаются при исследовании эффекта Мессбауэра.

Поскольку исследованные ФГП имеют ось легкого намагничивания (ОЛН) в направлении вектора нормали к кристаллографической плоскости $\langle 111 \rangle$, в нашем случае совпадающую с ходом γ -лучей, то в конверсионных электронных мессбауэровских спектрах (КЭМС) железа (рис. 3), полученных от исходного образца, интенсивности второй и пятой линий, пропорциональные синусу угла между вектором намагниченности и хо-

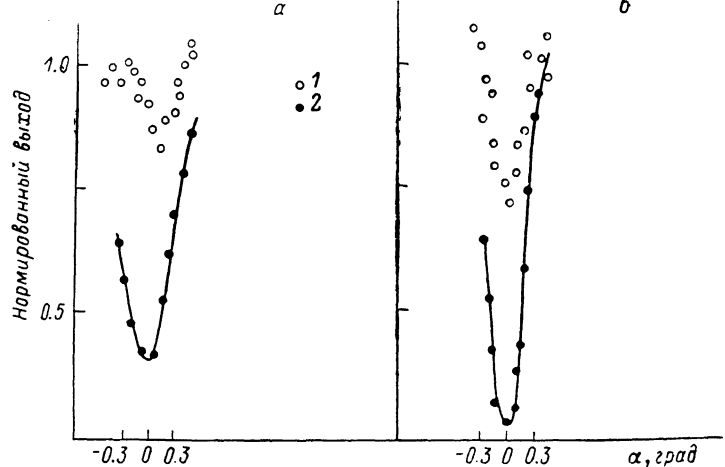


Рис. 2. Угловые зависимости выхода реакции ^{11}B (p, α) (1) и обратно рассеянных протонов (2) в окрестности оси $\langle 111 \rangle$ от монокристаллической ФГП, имплантированной ионами бора с $E_b=80$ кэВ и дозой $8 \cdot 10^{14}$ (а) и $1 \cdot 10^{15}$ см $^{-2}$ (б).

дом γ -лучей, практически равны нулю, что указывает на коллинеарность хода лучей и ОЛН. Мессбауэровский спектр железа представляет собой суперпозицию двух секстетов, отвечающих магнитоупорядоченному состоянию ионов железа в a - и d -подрешетках [7] при комнатной температуре. В КЭМС железа, полученных от имплантированного приповерхностного слоя, четко проявляются вторая и пятая линии, интенсивности которых возрастают с увеличением дозы внедренных ионов бора до тех пор, пока в приповерхностном слое ФГП увеличивается планарная составляющая вектора намагниченности и не начинает превалировать влияние структурного разупорядочения, обусловливающее ослабление степени сверхобменного взаимодействия между ионами железа в a - и d -подрешетках. Ослабление сверхтонкого взаимодействия вызывает частичный переход ионов железа в парамагнитное состояние в приповерхностном слое ФГП, которое доминирует при дозах $\geq 6 \cdot 10^{15}$ см $^{-2}$. Это находит выражение в росте интенсивности центрального квадрупольного дублета в КЭМС железа (рис. 3).

В работах [8, 9] уменьшение степени магнитного упорядочения в имплантированном слое авторы связывают с деформацией угла сверхобменной связи в цепочке $\text{Fe}_a^{3+} - \text{O}^{2-} - \text{Fe}_d^{3+}$, обусловленной смещением ионов кислорода при низких дозах имплантации. Полученные в настоящей работе результаты при исследовании спектров РОР подтверждают данные предположения, однако уменьшение степени магнитного упорядочения

в имплантированном слое ФГП, очевидно, обусловлено также разупорядочением катионной подрешетки. С дальнейшим ростом концентрации внедренных ионов бора происходит, как указывалось выше, накопление радиационных дефектов в катионной подрешетке по всем элементам, при

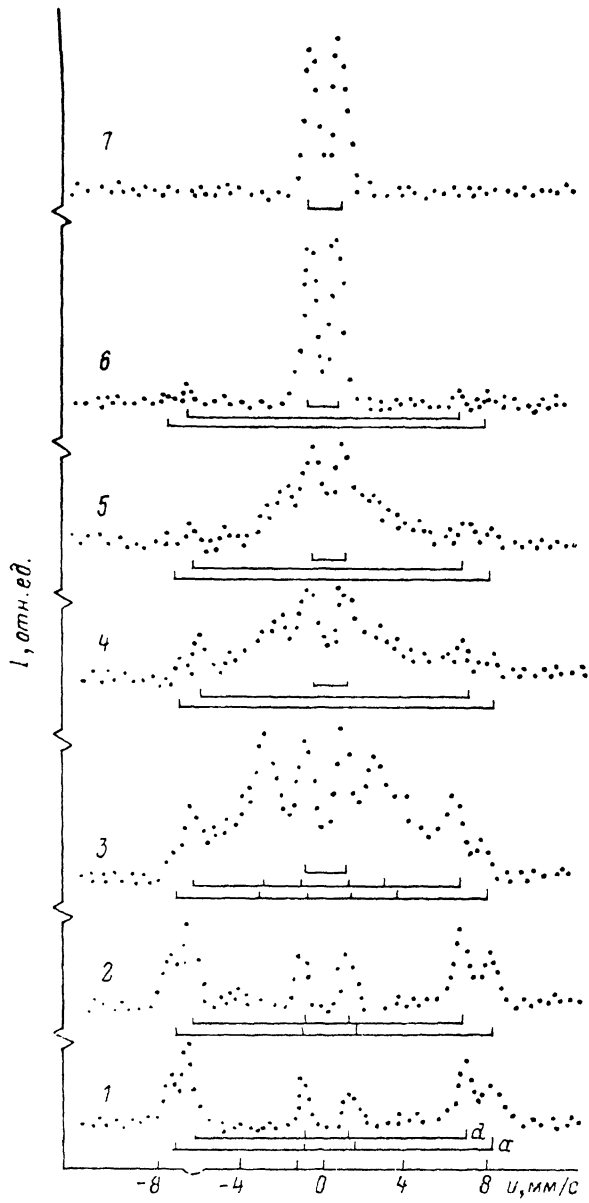


Рис. 3. КЭМС железа от исходной и имплантированной ионами бора ФГП с $E_b = 80$ кВ и различных дозах.

1 — исходная пленка, 2 — $1 \cdot 10^{14}$, 3 — $6 \cdot 10^{14}$, 4 — $8 \cdot 10^{14}$, 5 — $1 \cdot 10^{15}$, 6 — $5 \cdot 10^{15}$, 7 —

$1 \cdot 10^{16} \text{ см}^{-2}$.

дозе $\geq 1 \cdot 10^{16} \text{ см}^{-2}$ имплантированный приповерхностный слой ФГП становится аморфным по всей глубине и переходит в парамагнитное состояние при комнатной температуре (рис. 3). Возможно, что при высоких дозах ИИ сильное разупорядочение кристаллической структуры происходит в результате ускоренной радиационной диффузии [10]. Что касается анионной подрешетки, то, очевидно, она чувствительна к радиационному разрушению начиная с относительно низких доз [11, 12].

Судя по электронограммам, полная аморфизация поверхностного слоя толщиной порядка 0.01 мкм, как уже отмечалось ранее, происходит при дозе $1 \cdot 10^{15} \text{ см}^{-2}$. Из рис. 3 следует, что в данном случае в имплантированном слое наряду с парамагнитным состоянием наблюдается значительная степень магнитоупорядоченного состояния ионов железа и только при дозе $\geq 1 \cdot 10^{16} \text{ см}^{-2}$ в имплантированном слое происходит полное магнитное разупорядочение. Исходя из того, что формирование дифракционной картины электронов происходит в приповерхностном слое толщиной порядка 0.01 мкм, а выход электронов из исследуемых материалах составляет ≈ 0.2 мкм [12, 13], можно предположить, что при имплантации ФГП ионами бора зарождение аморфных областей происходит с поверхности или по крайней мере в приповерхностном слое толщиной ~ 0.01 мкм и по мере увеличения дозы внедренных ионов аморфизированный слой как бы прорастает в глубь имплантированного слоя [14]. Это предположение согласуется с результатами анализа спектров РОР, согласно которым

при ИИ бора в ФГП первоначально зарождаются протяженные дефекты, и их концентрация максимальна у поверхности и при дозе $\sim 8 \cdot 10^{14} \text{ см}^{-2}$ становится

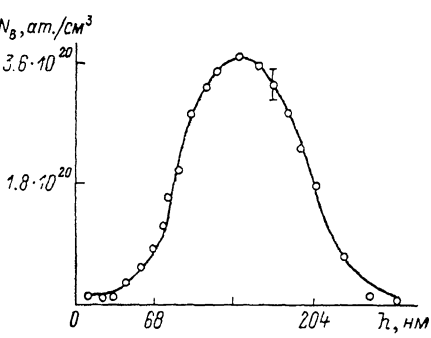


Рис. 4. Зависимость концентрации ионов бора, внедренных в монокристаллическую ФГП с $E_B = 80$ кэВ и дозой $1 \cdot 10^{16} \text{ см}^{-2}$, от глубины на основании выхода реакции $^{10}\text{B}(\text{He}, p)^{13}\text{C}$ при $E_{\text{рез He}} = 1.501 \text{ МэВ}$.

критической, обусловливая, по-видимому, разворот катионных цепочек на угол порядка 0.15° и интенсивный рост концентрации аморфной фазы.

На основании анализа экспериментальных результатов можно предположить следующий механизм зарождения протяженных дефектов. Несмотря на высокую степень совершенства структуры, в ФГП образуются упругие деформации за счет рассогласования постоянных решетки пленки и подложки (~ 0.005 нм) и различия их термических коэффициентов, что обуславливает повышение потенциальной энергии. Высокотемпературные прецизионные измерения постоянных решеток, выполненные нами на рентгеновском дифрактометре ДРОН-2 с использованием высокотемпературной камеры УРВТ-2000ВП, показали, что термические коэффициенты пленки и подложки действительно отличаются и данные различия особенно существенны в интервале температур 840 — 1000°C , т. е. в области температур жидкокристаллической эпитаксии ФГП. Очевидно, что различие постоянных решеток пленки и подложки будет играть существенную роль в случае очень тонких пленок (порядка десятка монослоев), в то время как упругие деформации, вызванные различием термических коэффициентов, будут, наоборот, возрастать с толщиной ФГП. Упругое состояние эпитаксиальной пленки должно понижать энергию образования протяженных дефектов и способствовать их зарождению при ионной имплантации. Зарождение и рост указанных дефектов должны происходить преимущественно вдоль нормали к поверхности ФГП, т. е. перпендикулярно растягивающему напряжению, поскольку в этом случае напряжения, создаваемые такими дефектами, минимальны. С дальнейшим увеличением дозы ИИ рост плотности дефектов приводит к повышению упругой энергии приповерхностного слоя, и при некотором критическом значении происходит взаимодействие дефектов с образованием дислокаций и аморфных областей, выходящих на поверхность. При дальнейшем увеличении дозы имплантируемых ионов бора происходит в основном накопление и рост областей аморфной фазы вплоть до полной аморфизации имплантированного слоя. Характерно, что подрешетка, образованная ионами кальция,

является наиболее устойчивой против радиационного разрушения при ионной имплантации бором.

Соизмеримость толщины имплантированного и анализируемого с помощью конверсионных мессбауэровских спектров железа слоев исследуемых ФГП вытекает из вида и параметров профиля концентрации внедренного бора, полученного из анализа выхода протонов из ядерной реакции $^{10}\text{B}(^{4}\text{He}, p) ^{13}\text{C}$ при резонансной энергии $E_{\text{рез,He}} = 1.501$ МэВ. Для увеличения разрешения по глубине угол наклона мишени по отношению к направлению анализируемого пучка протонов составлял 70° . Из рис. 4 видно, что профиль распределения внедренного в результате ИИ бора в ФГП имеет колоколообразный вид с величиной проективного пробега $R_p = 145.3$ нм и дисперсией пробега $\Delta R_p = 119.7$ нм. Некоторое уширение кривой профиля концентрации ионов бора, имплантированного в исследуемую пленку с энергией 80 кэВ и дозой $1 \cdot 10^{16} \text{ см}^{-2}$, связано с относительно высокой дозой ионов бора [12], а ее асимметрия обусловлена, по-видимому, диффузионными процессами в ходе ИИ. Очевидно, характер образования и накопления радиационных дефектов при ИИ таких сложных объектов, как ФГП, в значительной мере будет определяться механизмами динамического отжига повреждений, производимого отдельными ионами, или объемного отжига нарушенного слоя вследствие локального повышения температуры при ИИ [10].

На основании выполненных исследований установлено также, что исходная ФГП имеет следующий стехиометрический состав: $\text{Y}_{1.76}\text{Lu}_{0.25}\text{Sm}_{0.17}\text{Ca}_{0.78}\text{Pb}_{0.04}\text{Fe}_{4.24}\text{Ge}_{0.76}\text{O}_{12}$. Наличие ионов свинца в составе пленки объясняется их входением в кристалл во время роста из расплава, поскольку окислы металлов были растворены в расплаве $\text{PbO} + \text{B}_2\text{O}_3$. Присутствия бора в исходном образце в пределах чувствительности методов исследования ($\leq 10^{-5}$ ат. %) не обнаружено.

В заключение авторы выражают искреннюю благодарность В. Г. Барьяттару, В. Б. Молодкину, А. П. Кирилюку и Е. И. Зубко за полезные обсуждения результатов настоящей работы.

Список литературы

- [1] Okada O., Honda H. // Jap. Appl. Phys. 1986. V. 25. N 8. P. 1203–1205.
- [2] Тихонов А. И., Федичкин Р. И., Юрченко С. Е. // Микроэлектроника. 1985. Т. 14. № 3. С. 252–261.
- [3] Скакун Н. А., Дикий Н. П., Матяш П. Г., Страшинский А. Г. // ПТЭ. 1973. № 4. С. 49–50.
- [4] Остафийчук Б. К., Пылыпив В. М., Шевчук П. И., Федоров В. Д., Петров В. Е. // Металлофизика. 1987. Т. 9. № 4. С. 75–78.
- [5] Жукова Л. А., Гуревич М. А. Электронография поверхностных слоев и пленок полупроводниковых материалов. М., 1971. 173 с.
- [6] Battisingh G., Kennedi E., Revesz P. // Nucl. Instr. and Met. 1986. B. 15. P. 372.
- [7] Башкиров Ш. Ш., Ивойлов Н. Г., Романов Е. С. // ФТТ. 1985. Т. 27. № 9. С. 2853–2856.
- [8] Picone P. J., Morrish A. H. // Sol. St. Comm. 1982. V. 34. N 9. P. 743–747.
- [9] Maartense A., Scarle C. // J. Appl. Phys. 1980. V. 51. N 11. P. 5919–5923.
- [10] Вильмса Д. С., Подта Д. М. Ионная имплантация и лучевая технология / Пер. с англ. под ред. О. В. Снитко. Киев: Наукова думка, 1988. 538 с.
- [11] Бержанский В. Н., Евстафьев И. И., Кокоз В. Л., Петров В. Е. // Письма в ЖТФ. 1988. Т. 14. № 1. С. 80–82.
- [12] Немоткаленко В. В., Остафийчук Б. К., Пылыпив В. М., Сенкевич А. И., Федорив В. Д., Торчун М. М. // ДАН УССР, сер. А. 1988. № 6. С. 45–48.
- [13] Skrimshire C. P., Longworth G. // J. Phys. D. Appl. Phys. 1979. V. 12. N 11. P. 1951–1961.
- [14] Зайончковский В. С., Ринас Э. П., Николаев Е. И., Борисов Б. Г. // ЖТФ. 1982. Т. 52. № 1. С. 57–60.